

УДК 535.016

## АПТАСЕНСОРЫ НА ОСНОВЕ ТРЕКОВЫХ МЕМБРАН С НАНОСТРУКТУРИРОВАННЫМ СЛОЕМ СЕРЕБРА ДЛЯ ОПРЕДЕЛЕНИЯ ВИРУСОВ ГРИППА А И Б

© 2023 г. В. И. Кукушкин<sup>1</sup>, О. В. Криставчук<sup>2</sup>, Г. А. Жданов<sup>3</sup>, А. К. Кешек<sup>3</sup>, А. С. Гамбарян<sup>4</sup>,  
Е. В. Андреев<sup>2</sup>, А. Н. Нечаев<sup>2</sup>, Е. Г. Завьялова<sup>3</sup>, \*

<sup>1</sup>Федеральное государственное бюджетное учреждение науки

Институт физики твердого тела имени Ю.А. Осипьяна Российской академии наук, Черноголовка, Россия

<sup>2</sup>Международная межправительственная научно-исследовательская организация

Объединенный институт ядерных исследований, Дубна, Россия

<sup>3</sup>Федеральное государственное бюджетное образовательное учреждение высшего образования  
“Московский государственный университет имени М.В. Ломоносова”, Москва, Россия

<sup>4</sup>Федеральное государственное автономное научное учреждение

“Федеральный научный центр исследований и разработки иммунобиологических препаратов имени М.П. Чумакова  
Российской академии наук” (Институт полиомиелита), Москва, Россия

\*E-mail: zlenka2006@gmail.com

Поступила в редакцию 17.09.2022 г.

После доработки 05.10.2022 г.

Принята к публикации 26.10.2022 г.

Предложен биосенсор на основе трековой мембранны из полиэтилентерефталата с покрытием из наночастиц серебра для определения вирусов гриппа А и Б с использованием аптамеров для специфической сорбции вирусов на поверхности мембранны, а также для введения раман-активной или флуоресцентной метки. Аналитический сигнал регистрировали с помощью рамановского спектрометра, наблюдая эффекты поверхностного усиления интенсивности оптических откликов от меток.

DOI: 10.31857/S0367676522700375, EDN: АЕМСЮ

### ВВЕДЕНИЕ

Спектроскопия гигантского комбинационного рассеяния (ГКР, SERS, surface-enhanced Raman scattering) – высокочувствительный метод определения молекулярных веществ, основанный на усилении интенсивности рамановского рассеяния на границах раздела металла и диэлектрика [1, 2]. Помимо усиления интенсивности рамановского рассеяния происходит усиление сигнала флуоресценции (SEF, surface-enhanced fluorescence) [3, 4]. Многократное усиление сигнала может быть использовано для создания биосенсоров с ультразвуковыми пределами обнаружения анализаторов [5–10]. Специфичность биосенсоров и предел обнаружения анализаторов значительно увеличиваются в вариантах с введением раман-активных меток или флуорофоров [6, 8]. Безметочные методы уступают вариантам с введением меток из-за схожести химической структуры анализаторов со структурами других компонентов биологических жидкостей: например, белки состоят из одних и тех же аминокислот, соединенных в разной последовательности, а нуклеиновые кислоты – из ограниченного количества нуклео-

тидов. Спектральные методы не позволяют дискриминировать последовательность, в которой соединены аминокислоты и нуклеотиды в макромолекулах. В настоящее время значительное количество работ направлено на использование антител и аптамеров, которые узнают эпипот поверхности биомолекулы, в SERS- и SEF-биосенсорах [6, 11, 12]. Аптамеры более технологичны по сравнению с антителами, поскольку их синтез дешевле, есть возможность введения разнообразных модификаций, их структуре не свойственна необратимая денатурация [13, 14].

Сравнение работоспособности сенсоров в биологических жидкостях, например, в плазме крови, показало, что требуется разбавление растворов для снижения уровня неспецифической сорбции на поверхность сенсоров [15]. Использование мембранный фильтрации снижает предел обнаружения вируса гриппа А с 1.7 РГА/мл до  $2.2 \cdot 10^{-5}$  РГА/мл [16] (РГА – единицы реакции гемагглютинации, отражающие способность вируса взаимодействовать с клетками).

В литературе описаны способы создания пористых поверхностей, на основе которых кон-

стрируются оптические сенсоры, работающие на эффектах SERS/SEF [17]. Поры могут выступать в роли концентраторов, которые пропускают анализируемую жидкость на поверхность сенсора [18, 19] или в качестве проточного SERS-чипа, в котором одновременно реализуется две функции – фильтрация и усиление оптического сигнала [20].

В данной работе предложен биосенсор на основе трековой мембраны с нанесенными наночастицами металлов для определения вирусов гриппа А и Б с использованием аптамеров для специфической адсорбции вирусов на поверхности мембраны и их мечения раман-активными и флуоресцентными красителями.

## МАТЕРИАЛЫ И МЕТОДЫ

Неорганические соли приобретены в Sigma-Aldrich (США). Органические растворители были приобретены в MP Biomedicals (Франция). ДНК-аптамеры, модифицированные тиолом, (RHA0385-SH, (SH-dT)-5'-ttg<sub>3</sub>ttat<sub>4</sub>g<sub>3</sub>ag<sub>3</sub>cg<sub>5</sub>tt-3', и BV42-SH, SH-5'-aacgctcaact<sub>5</sub>aagaagaac<sub>22</sub>agtggcgtt-3'), аминогруппой (RHA0385-амино, NH<sub>2</sub>-5'-ttg<sub>3</sub>ttat<sub>4</sub>g<sub>3</sub>ag<sub>3</sub>cg<sub>5</sub>tt-3') и Cyanine-3 (RHA0385-Cy3, Cy3-5'-ttg<sub>3</sub>ttat<sub>4</sub>g<sub>3</sub>ag<sub>3</sub>cg<sub>5</sub>tt-3', и BV42-Cy3, Cy3-5'-aacgctcaact<sub>5</sub>aagaagaac<sub>22</sub>agtggcgtt-3') синтезированы ООО Синтол (Россия). Малахитовый зеленый изотиоцианат приобретен у Thermo Fisher Scientific (США). Все растворы приготовлены в ультрачистой воде (удельное сопротивление менее 18.2 МОм · см).

### *Инактивированные вирусы*

Вирус гриппа А подтипа H5N1 (A/chicken/Kurgan/3654-at/2005), вирус гриппа А подтипа H7N1 (A/chicken/Rostock/45/1934), вирус гриппа Б (B/Victoria/2/1987) и вирус болезни Ньюкасла были выращены в аллантоисной полости 10-дневных куриных яиц. Яйца инкубировались при 37°C, охлаждались до 4°C через 48 ч после инфицирования, и аллантоисная жидкость собиралась через 16 ч. Вирусодержащие аллантоисные жидкости были инактивированы путем добавления 0.05 об. % глутарового альдегида и законсервированы путем добавления 0.03 мас. % NaN<sub>3</sub> и хранились при +4°C. Титр вирусов определяли с помощью реакции гемагглютинации (РГА) с использованием 0.5% суспензии куриных эритроцитов в 0.14 M NaCl. За значение титра РГА в пробе принималось максимальное разведение вируса, при котором наблюдается положительный результат агглютинации эритроцитов.

### *SERS-мембранны*

На поверхность трековых мембран из полиэтилентерефталата (средний диаметр пор на поверхности 0.36 мкм, плотность пор составляла 2.6 · 10<sup>8</sup> см<sup>-2</sup>, мембранны получены в Лаборатории ядерных реакций им. Г.Н. Флерова ОИЯИ [21]) с использованием системы вакуумного термического напыления NANO 38 (Kurt J. Lesker Company, США) с автоматическим контролем толщины напылялись слои металлов (либо Ag толщиной 8 нм, либо комбинация Cr толщиной 1 нм и Ag толщиной 8 нм) при давлении в камере 8 · 10<sup>-7</sup> Торр со скоростью напыления 0.4 Å/с. Затем проводилось нагревание мембраны на плитке HP-20D-Set (Daihan Scientific, Южная Корея) при температуре 120°C в течение 6 мин.

### *Синтез аптамера, модифицированного малахитовым зеленым*

Раствор буры Na<sub>2</sub>B<sub>4</sub>O<sub>7</sub>·10H<sub>2</sub>O готовили растворением навески 1.9 г в 50 мл воды. 10 мг изоцианата малахитового зеленого растворили в 560 мкл диметилсульфоксида. Затем 14 мкл изоцианата малахитового зеленого смешивали с 7 мкл воды, 75 мкл раствора буры и 4 мкл 3 mM раствора RHA0385-амино. После 18 ч инкубации при комнатной температуре меченный аптамер был отделен от непрореагировавшей краски центрифугированием с помощью колонки Vivaspin 500 с отсечкой по молекулярной массе 3000 а. е. м. (Sartorius, Великобритания) при 12000 об./мин в течение 10 мин. Для промывки аптамера было добавлено 30 мкл 40% этилового спирта с последующим центрифугированием при 12000 об./мин в течение 10 мин. Затем было добавлено 70 мкл изопропилового спирта с последующим центрифугированием при 12000 об./мин в течение 10 мин. К оставшейся жидкости с осадком было добавлено 50 мкл изопропанола и 50 мкл воды. Конечная концентрация аптамера, модифицированного малахитовым зеленым (RHA0385-MG) – 80 мкМ.

### *SERS-сенсор для определения вируса гриппа А на мембранах, не допированных хромом*

Для образования активной конформации аптамеры в концентрации 2 мкМ в буфере 1 (10 mM три-*H*Cl, 10 mM KNO<sub>3</sub>, 140 mM NaNO<sub>3</sub>) нагревали 5 мин при 95°C и охлаждали при комнатной температуре. Вирусодержащую аллантоисную жидкость разбавляли в 1000 раз буфером 1 и добавляли RHA0385-MG (конечная концентрация 2.5 нМ). Аптамер RHA0385 специфически взаимодействует с вирусом гриппа А, не связываюсь с вирусами гриппа Б и болезни Ньюкасла [9, 22, 23]. После 5 мин инкубации смесь пропускали через мембрану с SERS-активным покрытием. Фраг-

мент мембранны диаметром 2 мм помещали на дно блока центробежной фильтрации центрифужной пробирки с ацетат-целлюлозной мембраной с размером пор 0.45 мкм. В экспериментах по модификации мембран аптамером, образцы были предварительно выдержаны в 20 нМ растворе RHA0385-SH в течение 5 мин. Затем 200 мкл образца вируссодержащей жидкости с RHA0385-MG центрифугировали через мембрану при 2400 об./мин 2 мин. Измерения сигнала SERS проводились в течение 8 с (10 повторов) с использованием рамановского спектрометра RamanLife RL532 SERS (ООО “ФОТОН-БИО”, РФ) с лазерным излучением с длиной волны 532 нм.

#### *SERS-сенсор для определения вирусов гриппа А на мембранах, допированных хромом*

Для образования активной конформации аптамеры в концентрации 2 мкМ в фосфатном буфере PBS нагревали 5 мин при 95°C и охлаждали при комнатной температуре. Вируссодержащую аллантоинскую жидкость разбавляли в  $20 \cdot 10^9$  раз PBS и добавляли RHA0385-Су3 (конечная концентрация 200 нМ). После 5 мин инкубации смесь пропускали через мембрану с SERS-активным покрытием, предварительно выдержанную в 200 нМ растворе RHA0385-SH в течение 15 мин. Фрагмент мембранны диаметром 2 мм помещали на дно блока центробежной фильтрации центрифужной пробирки с ацетат-целлюлозной мембраной с размером пор 0.45 мкм. Затем 200 мкл образца вируссодержащей жидкости с RHA0385-Су3, центрифугировали через мембрану при 2400 об./мин 2 мин. Измерения сигнала SERS проводились в течение 0.4 с (20 повторов) с использованием рамановского спектрометра RamanLife RL532 SERS (ООО “ФОТОН-БИО”, РФ) с лазерным излучением с длиной волны 532 нм.

#### *SERS-сенсор для определения вирусов гриппа Б на мембранах, допированных хромом*

Для образования активной конформации аптамеры в концентрации 2 мкМ в буфере 1 нагревали 5 мин при 95°C и охлаждали при комнатной температуре. Вируссодержащую аллантоинскую жидкость разбавляли в  $20 \cdot 10^9$  раз буфером 1 и добавляли BV42-Су3 (конечная концентрация 200 нМ). Аптамер BV42 связывается как с вирусами гриппа А, так и с вирусами гриппа Б, обладая структурой i-мотива [24, 25]. После 5 мин инкубации смесь пропускали через мембрану с SERS-активным покрытием, предварительно выдержанную в 20 нМ растворе BV42-SH в течение 15 мин. Фрагмент мембранны диаметром 2 мм помещали на дно блока центробежной фильтрации центрифужной пробирки с ацетат-целлюлозной мембраной с размером пор 0.45 мкм. Затем

200 мкл образца вируссодержащей жидкости с BV42-Су3, центрифугировали через мембрану при 2400 об./мин 2 мин. Измерения сигнала SERS проводились в течение 0.4 с (20 повторов) с использованием рамановского спектрометра RamanLife RL532 SERS (ООО “ФОТОН-БИО”, РФ) с лазерным излучением с длиной волны 532 нм.

#### *Сканирующая электронная микроскопия*

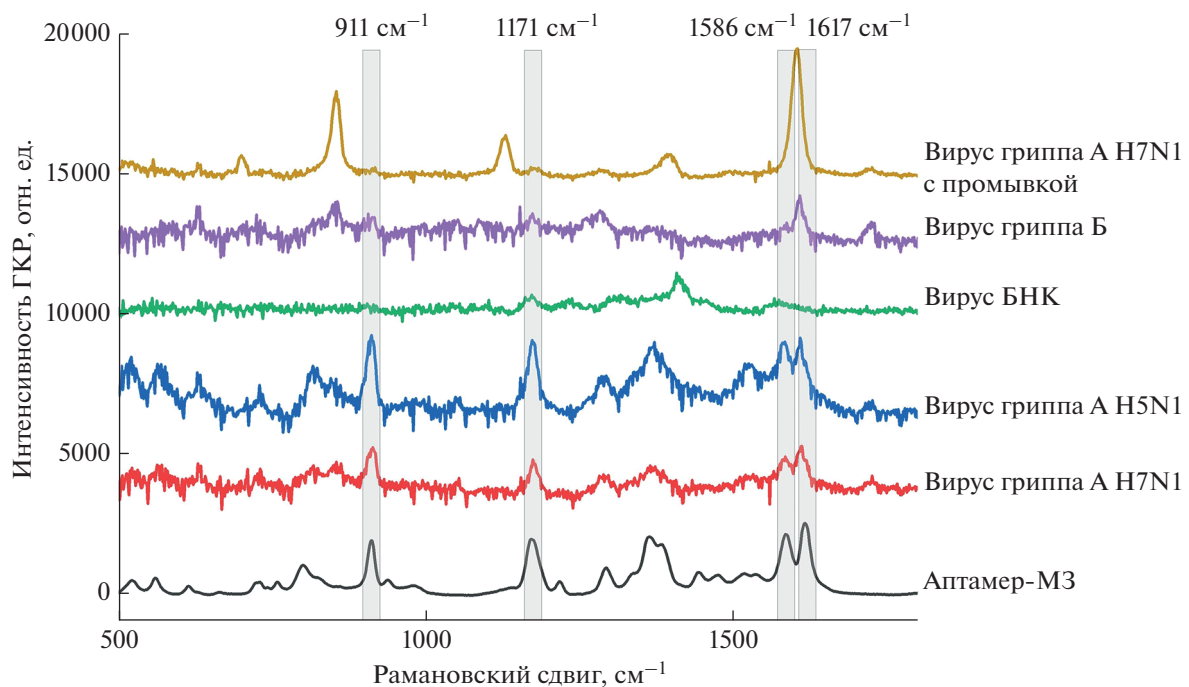
Сканирующую электронную микроскопию (СЭМ) проводили с помощью микроскопа SU 8020, оснащенного холодным полевым катодом (Hitachi, Япония). Чтобы улучшить разрешение и контрастность изображений, на образцы наносился слой сплава золото-палладий толщиной 5 нм. Некоторые изображения были сделаны без распыления проводящих металлических слоев.

### РЕЗУЛЬТАТЫ И ИХ ОБСУЖДЕНИЕ

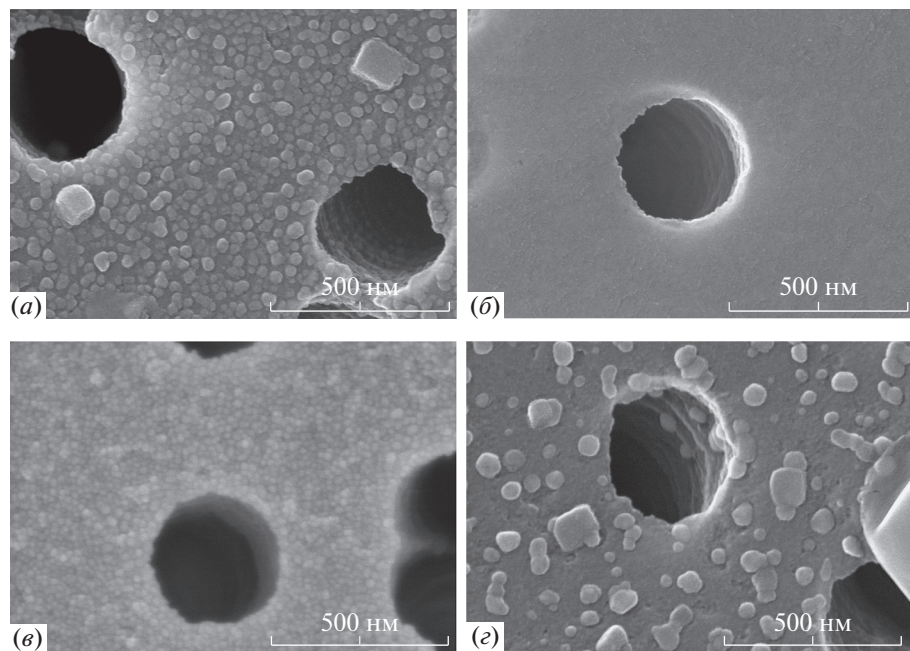
Мембранны из полиэтилентерефталата, покрытыеnanoструктуриванным слоем серебра были описаны ранее в качестве поверхностей, усиливающих сигнал рамановского рассеяния [26]. В наших экспериментах мембранны позволяли увидеть SERS-спектр метки аптамера (малахитового зеленого) при достаточно низких концентрациях красителя – 2.5 нМ. Сигнал появлялся в образцах с вирусами гриппа А разных подтипов (H5N1 и H7N1), которые узнаются аптамером RHA0385-MG, и отсутствовал в образцах контрольных вирусов – вирусов гриппа Б и болезни Ньюкасла (рис. 1). При этом спектр малахитового зеленого отсутствовал при попытке сборки тройного комплекса RHA0385-SH – вирус гриппа А – RHA0385-MG.

По данным сканирующей электронной микроскопии nanoструктуриванная поверхность на мемbrane претерпевает значительные изменения при взаимодействии с биологической жидкостью (разбавленной аллантоинской жидкостью). Обработка поверхности аптамером RHA0385-SH не изменяет ее геометрию, но усиливает изменения при фильтрации биологической жидкости, приводя к полному снятию nanoструктуриванного слоя вирусом гриппа А (рис. 2). В отсутствие тиомодифицированного аптамера nanoструктуриванная поверхность нарушена, дополнительный этап промывки мембранны буфером смыкает остатки слоя, при этом исчезает спектр малахитового зеленого и появляется спектр материала мембранны – полиэтилентерефталата.

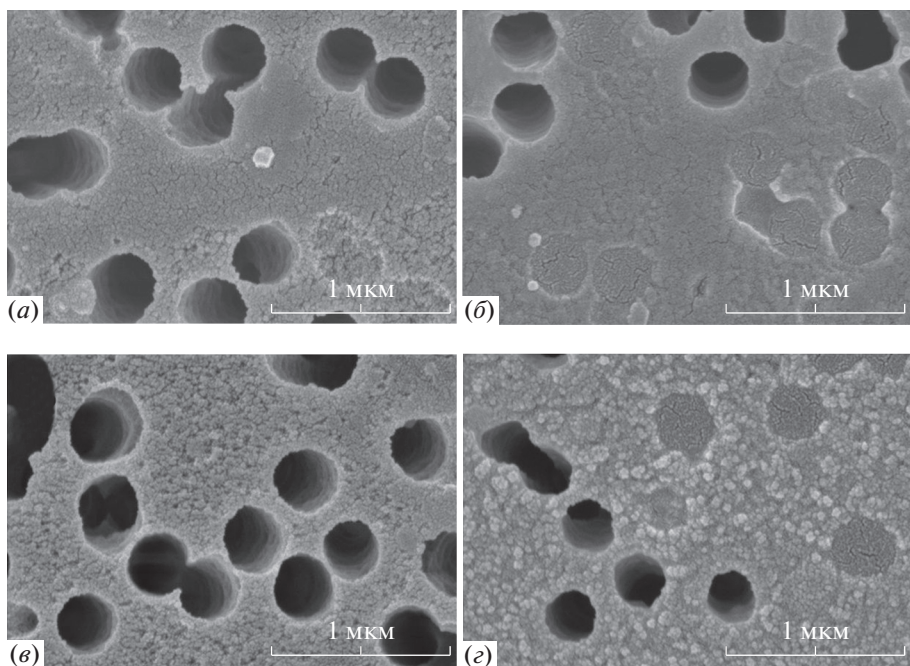
Для увеличения стабильности nanoструктуриванного слоя был добавлен этап напыления хрома, что создает допированный хромом слой наночастиц серебра, с увеличенной адгезией к поверхности мембранны. Новый вариант мембранны стабильнее: покрытие сохраняется в присутствии



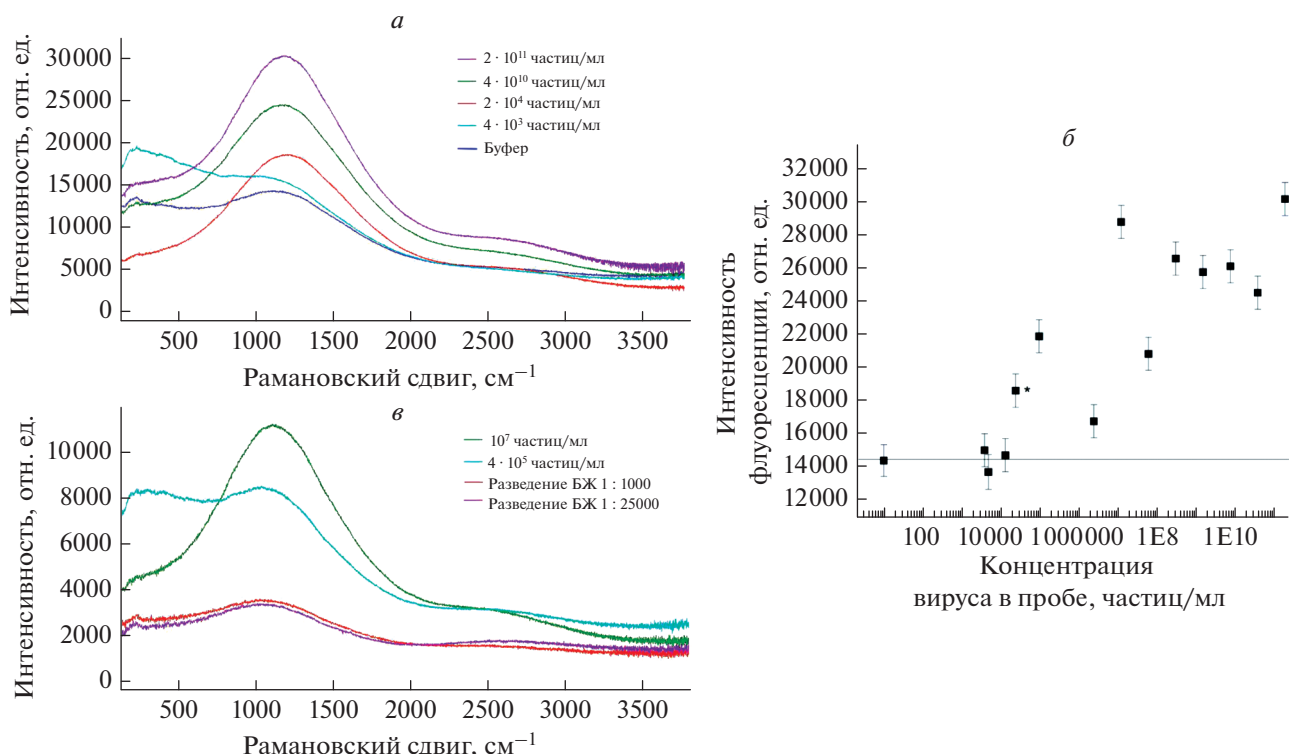
**Рис. 1.** SERS-спектры мембран с SERS-активным покрытием в присутствие вирусов гриппа А (подтипы H5N1 и H7N1), гриппа Б и болезни Ньюкасла (БНК), а также контрольные спектры мембраны с промывкой и аптомера RHA0385-MG.



**Рис. 2.** Сканирующая электронная микроскопия образцов мембранны со слоем наноструктурированного серебра после фильтрации смеси вируса гриппа А H7N1 и RHA0385-MG (a), мембранны, предварительно обработанной RHA0385-SH с последующей фильтрацией смеси вируса гриппа А H7N1 и RHA0385-MG (б), исходной мембранны, обработанной RHA0385-SH без последующей фильтрации (в), мембранны, предварительно обработанной RHA0385-SH с последующей фильтрацией смеси неспецифического вируса (вируса болезни Ньюкасла) и RHA0385-MG (г).



**Рис. 3.** Сканирующая электронная микроскопия образцов мембранны со слоем наноструктурированного серебра с допированием хромом, предварительно обработанной RHA0385-SH с последующей фильтрацией смеси RHA0385-Cy3 с: буфером без биологической жидкости (а); вирусом гриппа А H7N1 в концентрации  $3.7 \cdot 10^{10}$  (б),  $2.4 \cdot 10^4$  (в) и  $3.8 \cdot 10^3$  частиц/мл (г).



**Рис. 4.** Спектры флуоресценции образцов мембранны со слоем наноструктурированного серебра с допированием хромом, предварительно обработанной RHA0385-SH с последующей фильтрацией смеси RHA0385-Cy3 с разными концентрациями вируса гриппа А подтипа H7N1 (а). Зависимость флуоресцентного сигнала при  $1180 \text{ cm}^{-1}$  от концентрации вируса гриппа А подтипа H7N1 (б). \* Помечен наблюдаемый предел обнаружения вируса гриппа А. Спектры флуоресценции образцов мембранны со слоем наноструктурированного серебра с допированием хромом, предварительно обработанной BV42-SH с последующей фильтрацией смеси BV42-Cy3 с разными концентрациями вируса гриппа Б (в). В качестве контролей приведены спектры, полученные после фильтрации образцов биологической жидкости без вируса (БЖ), разбавленной идентично образцам с вирусом.

биологических жидкостей и вируса гриппа А, в том числе, при модификации поверхности аптамером RHA0285-SH (рис. 3).

Стабилизация покрытия снизила интенсивность рамановских спектров как в случае бинарных (вирус гриппа А – RHA0285-метка), так и тройных комплексов RHA0385-SH – вирус гриппа А – RHA0385-метка. В данном случае динамичное покрытие было важным для усиления сигнала, возможно, за счет образования слоя наночастиц на поверхности вируса. Покрытие, дополненное хромом, обладает эффектом усиления флуоресценции, например флуоресценции красителя Cyanine-3 (рис. 4), что было использовано для создания сенсоров. Была получена зависимость интенсивности флуоресценции от концентрации вируса с характерным увеличением сигнала в диапазоне концентраций вируса от  $2 \cdot 10^4$  до  $2 \cdot 10^{11}$  частиц/мл. Предел обнаружения данного сенсора –  $2 \cdot 10^4$  частиц/мл – превосходит тест-системы экспресс-анализа на основе антител ( $1 \cdot 10^6$ – $4 \cdot 10^8$  частиц/мл), но уступает методу ПЦР ( $3 \cdot 10^2$ – $1.2 \cdot 10^3$  частиц/мл) [27–29]. Низкий для тест-систем экспресс-анализа предел обнаружения и широкий диапазон определяемых количеств вируса гриппа А был достигнут благодаря использованию мембранны, которая удаляет значительную часть примесных биомолекул. Эффективность фильтрации вирусов гриппа А через полиэтилентерефталатную мембрану с таким же размером пор была оценена в нашей недавней работе, где показано, что SERS в коллоидных системах с образцами биологических жидкостей может быть улучшен за счет такой фильтрации [16].

Для оценки возможности использования предложенной методики для других вирусов, был предложен сенсор для определения вируса гриппа Б. Сенсор сработал аналогичным образом: в присутствие вируса гриппа Б происходило увеличение флуоресценции по сравнению с биологической жидкостью без вируса (рис. 4в). Были определены титры вируса гриппа  $10^7$  и  $4 \cdot 10^5$  частиц/мл. Таким образом, предложенный подход можно считать универсальным.

Исследование выполнено при поддержке Российского научного фонда (проект № 18-74-10019).

## СПИСОК ЛИТЕРАТУРЫ

1. Кукушкин В.И., Гришина Я.В., Соловьев В.В. и др. // Письма ЖЭТФ. 2017. Т. 105. С. 637; Kukushkin V.I., Grishina Y.V., Solov'ev V.V. et al. // JETP Lett. 2017. V. 105. P. 677.
2. Кукушкин В.И., Гришина Я.В., Егоров С.В. и др. // Письма ЖЭТФ. 2016. Т. 103. С. 572; Kukushkin V.I., Grishina Y.V., Egorov S.V. et al. // JETP Lett. 2016. V. 103. P. 508.
3. Белик А.Я., Кукушкин В.И., Рыбин А.Я. и др. // Докл. РАН. 2018. Т. 481. С. 270; Belik A.Y., Kukushkin V.I., Rybin A.Y., et al. // Dokl. Phys. Chem. 2018. V. 481. P. 95.
4. Kukushkin V.I., Mukhametzhanov I.M., Kukushkin I.V. et al. // Phys. Rev. B. V. 90. Art. No. 235313.
5. Perumal J., Wang Y., Attia A.B.E. et al. // Nanoscale. 2021. V. 13. No. 2. P. 553.
6. Ambartsumyan O., Gribanyov D., Kukushkin V. et al. // Int. J. Mol. Sci. 2020. V. 21. No. 9. Art. No. 3373.
7. Eskandari V., Sahbafar H., Zeinalizad L., Hadi A. // ISSS J. Micro Smart Syst. 2022. V. 11. P. 363.
8. Zavyalova E., Tikhonova D., Zhdanov G. et al. // Analyt. Chim. Acta. 2022. V. 1221. Art. No. 340140.
9. Kukushkin V.I., Ivanov N.M., Novoseltseva A.A. et al. // PLoS One. 2019. V. 14. No. 4. Art. No. e0216247.
10. Ye J., Yeh Y.T., Xue Y. et al. // Proc. National. Acad. Sci. USA. 2022. V. 119. No. 23. Art. No. e2118836119.
11. Lin Y.-J., Wu C.-Y., Li T. et al. // J. Biosens. Bioelectron. 2014. V. 5. P. 2.
12. Lee J.H., Kim B.C., Oh B.K., Choi J.W. // J. Biomed. Nanotechnol. 2015. V. 11. No. 12. P. 2223.
13. Adachi T., Nakamura Y. // Molecules. 2019. V. 24. No. 23. Art. No. 4229.
14. Ni S., Zhuo Z., Pan Y. et al. // ACS Appl. Mater. Interfaces. 2021. V. 13. No. 8. P. 9500.
15. Жданов Г.А., Грибанев Д.А., Гамбaryан А.С. и др. // Изв. РАН. Сер. физ. 2022. Т. 86. № 4. С. 527; Zhdanov G.A., Gribanyov D.A., Gambaryan A.S. et al. // Bull. Russ. Acad. Sci. Phys. 2022. V. 86. No. 4. P. 434.
16. Zhdanov G., Nyhrikova E., Meshcheryakova N. et al. // Front. Chem. 2022. V. 10. Art. No. 937180.
17. Kristavchuk O.V., Nikiforov I.V., Kukushkin V.I. et al. // Colloid J. 2017. V. 79. P. 637.
18. Laserna J.J., Campiglia A.D., Winefordner J.D. // Analyt. Chim. Acta. 1988. V. 208. P. 21.
19. Muniz-Miranda M., Neto N., Sbrana G. // J. Mol. Struct. 1997. V. 410. P. 205.
20. Taurozzi J.S., Tarabara V.V. // Environ. Engin. Sci. 2007. V. 24. No. 1. P. 122.
21. Apel P.Yu. // Rad. Inst. 1995. V. 25. No. 1–4. P. 667.
22. Bizyaeva A.A., Bunin D.A., Moiseenko V.L. et al. // Int. J. Mol. Sci. 2021. V. 22. No. 5. Art. No. 2409.
23. Novoseltseva A.A., Ivanov N.M., Novikov R.A. et al. // Biomolecules. 2020. V. 10. No. 1. P. 119.
24. Musafia B., Oren-Banaroya R., Noiman S. // PLoS One. 2014. V. 9. No. 5. Art. No. e97696.
25. Zavyalova E., Kopylov A. // In: Nanostructures for the engineering of cells, tissues and organs. From design to applications. Chennai: William Andrew, Elsevier, 2018. 249 p.
26. Серебренникова С.И., Кукушкин В.И., Криставчук О.В. и др. // Изв. РАН. Сер. физ. 2022. Т. 86. № 4. С. 516; Serebrennikova S.I., Kukushkin V.I., Kristavchuk O.V. et al. // Bull. Russ. Acad. Sci. Phys. 2022. V. 86. No. 4. P. 423.
27. Herrmann B., Larsson C., Zweyberg B.W. // J. Clin. Microbiol. 2001. V. 39. P. 134.
28. Chan K.-H., To K.K.W., Chan J.F.W. et al. // J. Clin. Microbiol. 2013. V. 51. P. 3160.
29. Peters T.R., Blakeney E., Vannoy L., Poehling K.A. // Diagnostic Microbiol. Infect. Dis. 2013. V. 75. P. 200.

**Aptasensors based on track-etched membranes coated with nanostructured silver layer for influenza A and B virus detection**

V. I. Kukushkin<sup>a</sup>, O. V. Kristavchuk<sup>b</sup>, G. A. Zhdanov<sup>c</sup>, A. K. Keshek<sup>c</sup>, A. S. Gambaryan<sup>d</sup>,  
Ye. V. Andreev<sup>b</sup>, A. N. Nechaev<sup>b</sup>, E. G. Zavalova<sup>c,\*</sup>

<sup>a</sup> Institute of Solid State Physics of the Russian Academy of Sciences, Chernogolovka, 142432 Russia

<sup>b</sup> Joint Institute for Nuclear Research, Dubna, 141980 Russia

<sup>c</sup> Lomonosov Moscow State University, Moscow, 119991 Russia

<sup>d</sup> Chumakov Federal Scientific Centre for Research and Development of Immune and Biological Products  
of the Russian Academy of Sciences, Moscow, 108819 Russia

\*e-mail: zlenka2006@gmail.com

A biosensor based on a polyethylene terephthalate track membrane coated with silver nanoparticles is proposed for the detection of influenza A and B viruses using aptamers for specific sorption of the viruses on the membrane surface, as well as for the introduction of a Raman-active or fluorescent label in the complex. The analytical signal was recorded using a Raman spectrometer, observing the effects of surface-enhancing of the intensity of optical responses from the labels.